

## ارزیابی کارایی مدل‌های مختلف برآورد بار معلق به روش منحنی سنجه

### در حوزه آبخیز سفید رود

- ❖ صدیقه محمدی؛ استادیار، گروه اکولوژی، پژوهشگاه علوم و تکنولوژی پیشرفت و علوم محیطی، دانشگاه تحصیلات تکمیلی صنعتی و فناوری پیشرفت، کرمان، ایران
- ❖ علی سلاجقه<sup>\*</sup>؛ استاد دانشکده منابع طبیعی، دانشگاه تهران، ایران.
- ❖ حسن احمدی؛ استاد دانشکده منابع طبیعی، دانشگاه تهران، ایران.
- ❖ جمال قدوسی؛ استادیار، مرکز تحقیقات حفاظت خاک و آبخیزداری کشور، ایران.
- ❖ علی کیانی راد؛ استادیار، مؤسسه پژوهش‌های برنامه‌ریزی، اقتصاد کشاورزی، ایران.

### چکیده

رسوب معلق بزرگترین منبع آلوده‌کننده غیر نقطه‌ای و عامل اصلی تخریب کیفیت آب‌های سطحی است. چون مدل‌های هیدرولیکی انتقال رسوب قادر به پیش‌بینی بار معلق رودخانه نیستند، منحنی‌های سنجه رسوب به عنوان معمول‌ترین روش‌های هیدرولوژیکی برآورد بار رسوبی معلق رودخانه‌ها کاربرد وسیع دارند. از آنجایی که معادلات رگرسیونی منحنی سنجه به علت تبدیل لگاریتمی آمار دیگریان و رسوب معلق دارای اریب زیاد هستند، ضرایب اصلاحی جهت حذف اثر تبدیل لگاریتمی و اریب ناشی از برونشاید پس از مقایسه ۹ ایستگاه‌های هیدرومتری واقع در سرشاخه‌ها و رودخانه‌های اصلی حوزه آبخیز سفیدرود، در ۲۰ ایستگاه، استفاده شد. پس از مقایسه ۹ روش برآورد منحنی سنجه شامل روش‌های یکخطی، یکخطی با ضرایب اصلاحی CF1، CF2، FAO، روشنخانی، روشن حد وسط دسته‌ها، حدودهای CF1 و CF2 با ضرایب اصلاحی CF1 و FAO با استفاده از دو معیار RMSE و NASH نتایج نشان داد که روشن حد وسط و روشن حد وسط با ضرایب اصلاحی CF2 و CF1 در مقایسه با سایر روش‌های منحنی سنجه، بیشترین برآوردهای (از نظر فراوانی) را به ایستگاه‌های حوضه سفید رود دارا هستند. در کل می‌توان نتیجه گرفت که ضرایب اصلاحی CF1 و CF2 در اغلب ایستگاه‌ها به دلیل جبران کم‌تخمینی روش‌های منحنی سنجه، موجب افزایش کارایی مدل شده‌اند. نمودار تغییرات رسوب‌دهی (به دست آمده از توابع منتخب) به ازاء مساحت نشان داد که این تابع نمودار دارای نمای کمی بیشتر از واحد است که ناشی از افزایش رسوب‌دهی به ازاء افزایش واحد مساحت است. طبق نتایج سالانه حدود ۳۰ میلیون تن رسوب معلق وارد مخزن سد سفیدرود می‌شود.

**کلید واژگان:** بار معلق، سفیدرود، ضرایب اصلاحی، کارایی مدل، منحنی سنجه رسوب.

رسوب معلق بزرگترین منبع آلوده‌کننده غیر نقطه‌ای و

### ۱. مقدمه

نتوازنسته غلظت ر رسوب در دبی‌های مختلف جریان را به خوبی نشان دهد، اریب در واقع باعث شده تا مقدار باقیمانده‌ها - اختلاف بین مقادیر مشاهده‌ای با مقادیر محاسباتی - توزیع نرمالی نداشته باشد و مقدار آن بیشتر از صفر شود [۲۳]. اریب منحنی سنجه از دو عامل منشأ می‌گیرد. عامل اول به علت تغییر شکل معادله از حالت لگاریتمی به حالت طبیعی مدل رگرسیون خطی است که در اصل مربوط به ذات منحنی سنجه است. عامل دوم اریب، ناشی از عمل برونویانی برای برآورد رسوب دبی‌های بالاست که در ارتباط با کمیت و کیفیت داده‌ها است [۱۷]. دو اریب ناشی از عوامل بالا معمولاً منجر به کم تخمینی مقدار رسوب انتقالی می‌شوند [۱۴، ۶]. برای جیران کم تخمینی منحنی سنجه رسوب، فاکتورهای تصحیح اریب مختلفی در سال‌های اخیر پیشنهاد شده است [۱۲]. ضرایب اصلاحی شامل ضریب فائو [۲۱]، ضریب QMLE یا CF1 [۱۴]، ضریب اصلاحی غیرپارامتری یا CF2 [۱۱]، ضریب MVUE [۸]، ضریب  $\beta$ ، [۲۳]، روش حد وسط دسته‌ها [۲۰] و روش چند خطی [۴۵] هستند.

در مقایسه سه روش برآورد منحنی سنجه رسوب شامل روش‌های یکخطی، دوخطی و حدودست در رودخانه رونتاژون، روش منحنی سنجه حد وسط به عنوان دقیق‌ترین روش معرفی شد [۲۰]. در تحقیقی ۴ منحنی سنجه در محل ایستگاه‌های هیدرومتری رودخانه اصلی و انشعابات فرعی حوضه راین مقایسه گردید. طبق نتایج منحنی سنجه به روش رگرسیون غیرخطی نتایج بهتری در مقایسه با رگرسیون خطی ارائه داد و نوع منحنی سنجه رسوب برآش شده در ایستگاه‌های مختلف با هم متفاوت بود [۶]. محققین در حوضه رودخانه والنات کریک آمریکا، ضمن مقایسه سه روش کوکریجینگ، کریجینگ و منحنی سنجه رسوب در برآورد بار رسوب معلق نتیجه گرفتند که روش منحنی سنجه رسوب نتایج بهتری نسبت به روش کریجینگ و روش کوکریجینگ به دلیل درنظر گرفتن همبستگی زمانی بین داده‌ها، دارد [۶]

عامل اصلی تخریب کیفیت آب‌های سطحی است. فعالیت‌های تخریبی زمین مانند جاده‌سازی، تخریب مراتع و جنگل‌ها، معدن‌کاری و توسعه فعالیت‌های کشاورزی در ایجاد این مشکل سهم دارند [۳۵]. انتقال رسوب و رسوب‌گذاری پیامدهایی چون انتقال آلودگی‌ها، ایجاد جزایر رسوبی در مسیر رودخانه، کاهش ظرفیت مخازن و عمر مفید سدها، خوردگی تأسیسات رودخانه‌ای و خسارت به ابنيه آبی و مزارع ... را به دنبال دارد [۱۲، ۱۴].

بار معلق رودخانه نه تنها تابعی از ظرفیت حمل رودخانه است بلکه به قابلیت دسترسی رسوب، که از حوزه آبخیز بالادست (بار شسته) منشاء می‌گیرد، بستگی دارد [۵] و شاخصی از رسوب‌دهی کل سطح حوضه است که در اثر شستشوی اراضی حاصلخیز بالادست شکل می‌گیرد [۳۷]. بنابراین مدل‌های هیدرولیکی انتقال رسوب قادر به پیش‌بینی بار معلق رودخانه نیستند و روش‌های تجربی هیدرولوژیکی منحنی سنجه برای این امر مناسب هستند [۶، ۱۷]. این روش‌ها به طور وسیع توسط رسوب‌شناسان، هیدرولوژیست‌ها، مهندسین و دانشمندان علوم زمین برای اهداف مختلف استفاده شده است [۱۶، ۲۶].

یک منحنی سنجه رسوب یک نوع مدل جعبه سیاه است که میانگین رابطه دبی جریان و غلظت رسوب معلق را برای یک محل معین توصیف می‌کند و اغلب به صورت یک تابع توانی است [۴۴، ۴۵]:

$$Q_s = aQ^b \quad (1)$$

که در آن،  $Q_s$ ، دبی ر رسوب معلق (تن بر روز)،  $Q$ ، دبی آب (مترمکعب بر ثانیه) و  $a$ ,  $b$ ، ضرایب رگرسیون هستند. ضریب  $a$  شاخص شدت فرایش حوضه و در دسترس بودن منابع تولید رسوب در حوضه که توسط رواناب منتقل می‌شود [۳۶، ۲۹] و ضریب  $b$  شاخص قدرت فرسایندگی و توان حمل رسوب توسط رودخانه است [۶]. این رابطه به دلیل داشتن اریب در بیشتر مواقع

عملکرد بهتری در برآوردهی رسوب دیهای سیلابی داشته است [۳۳].

از آنجایی که خصوصیات حوزه آبخیز شامل اقلیم، تکتونیک، توپوگرافی، زمین شنا سی و سایر خصوصیات حوزه در مقیاس زمانی و مکانی متغیر است، بنابراین بار رسوب معلق رودخانه در بعد زمان و مکان بسیار تغییر می‌کند. به علاوه اینکه فعالیت‌های اذسانی (شامل تخریب جنگل‌ها، زراعت، معدن‌کاوی و جاده‌سازی) نقش مهمی را در این امر ایفا می‌کند [۲۴، ۷]. اگر چه تحقیقات زیادی در مورد رابطه دبی آب و بار رسوب در کشور انجام شده است [۳، ۹، ۳۱، ۱۳، ۳۳، ۴۱، ۴۹] اما مطالعات کمتری در مورد حوزه آبخیز رودخانه‌های بزرگ (با گستره وسیعی از اقلیم، زمین شنا سی، توپوگرافی و...) که در آن‌ها روابط بین دبی و رسوب پیچیده‌تر می‌باشد [۳۰، ۴۳، ۱۵] انجام شده است. حوزه آبخیز سفید رود نیز از این قاعده مستثنی نیست و به عنوان یکی از بزرگترین، پرآبرترین و مشکل‌دارترین حوزه‌های آبخیز کشور (به دلیل شرایط خاص منطقه‌ای) از نظر فرسایش و رسوب به ویژه فرسایش رودخانه‌ای به شمار می‌رود [۱۸]. به دلیل نبود آمار و اطلاعات کافی در این حوضه، اختلاف زیاد در نتایج انواع روش‌های مختلف برآش منحنی سنجه [۹] و از طرفی اهمیت این منحنی‌ها در برآوردهی رسوب در ایران [۱۳] ارزیابی دقت این روش‌ها ضرورت دارد. لذا این پژوهش به منظور تعیین بهترین روش برآش منحنی سنجه رسوب در ایستگاه‌های هیدرومتری واقع در سرشارخه‌ها و رودخانه‌های اصلی سفیدرود و تعیین مقدار بار رسوب معلق متوسط سالانه حوزه آبخیز هر ایستگاه و کل حوضه سفیدرود انجام گردید.

[۲۵]: روش‌های مختلف منحنی سنجه رسوب در حوزه آبخیز هینوتانی ژاپن در ایستگاه خروجی حوضه و پنج ایستگاه دیگر مقایسه شدند و طبق یافته‌ها منحنی سنجه توانی با ریشه چهارم دبی جریان (تبديل شده) با توجه به موقعیت آن‌ها در شاخه صعودی و نزولی هیدروگراف نتایج بهتری ارائه داد [۳۷]. از روش منحنی سنجه رسوب برای تخمین بار رسوب معلق دوره ۵۰ ساله رودخانه پیرل استفاده شد و نتیجه گرفته شد که منحنی سنجه رسوب و نیز میزان بار رسوبی وارد به مخزن سد با زمان تغییر می‌کند [۴۸]. در بررسی ارتباط بین دبی آب و غلظت رسوب معلق در بالادست رودخانه زرد چین در فصول سیلابی طی یک دوره ۳۵ ساله، معادله تابع چندگانه با توان ۳ مناسب برای برآش منحنی سنجه رسوب معرفی شد [۱۲].

نتایج تحقیقی در برآوردهی رسوب ۱۷ ایستگاه هیدرومتری در کشور، ضمن مقایسه ۱۸ روش برآش منحنی سنجه رسوب (شامل ۶ روش منحنی سنجه و ۳ روش نوع دبی) نشان داد که روش منحنی سنجه حد وسط با آمار دبی روزانه به عنوان بهترین روش برآورده بار رسوب معلق است [۳]. در مقایسه ۸ روش هیدرولوژیکی برآورده منحنی سنجه رسوب، روش حد وسط به عنوان بهترین روش معرفی و مقدار رسوب معلق حوضه طالقان در محل ایستگاه گلینک ۷۵۱۷۲ تن در سال برآورده شد [۴۹]. در تحقیقی ۱۰ روش برآورده منحنی سنجه رسوب در ۵ ایستگاه هیدرومتری از مناطق اقلیمی مختلف کشور نتیجه گرفته شد که کاربرد ضریب حداقل واریانس نا اریب باعث افزایش صحت و دقت برآورده منحنی‌های سنجه شده است [۴۱]. کارایی ضرایب اصلاحی در بهینه سازی منحنی سنجه رسوب در حوضه سد کمال صالح ارزیابی شد و نتایج نشان داد که فاکتور اصلاحی  $\beta$  در منحنی سنجه حد وسط دسته‌ها می‌تواند به خوبی اختلاف بین مقادیر برآورده و مشاهده‌ای را در دبی‌های بالا کم کند و منحنی سنجه حد وسط با فاکتور اصلاحی FAO در مقایسه با سایر منحنی‌های سنجه

ارتفاعات متغیر است. این حوضه از تنوع سازندهای زمین شنا سی ر سوبی بهره‌مند بوده و تعداد این سازندها بیش از ۲۵ نوع است. رودخانه سفید رود از به هم پیوستن دو شاخه اصلی به نام‌های قزل اوزن و شاهروд شکل می‌گیرد. لذا در محدوده حوزه آبخیز سد می‌توان از دو حوضه بزرگ به نام‌های قزل اوزن (با مساحت برابر با ۴۹۴۷۰ کیلومترمربع در ایستگاه آب‌سنگی گیلان) و شاهرود (با مساحت ۴۹۷۵ کیلومترمربع در ایستگاه آبخیز لوشن) نام برد (اشکال شماره ۲ و ۳).

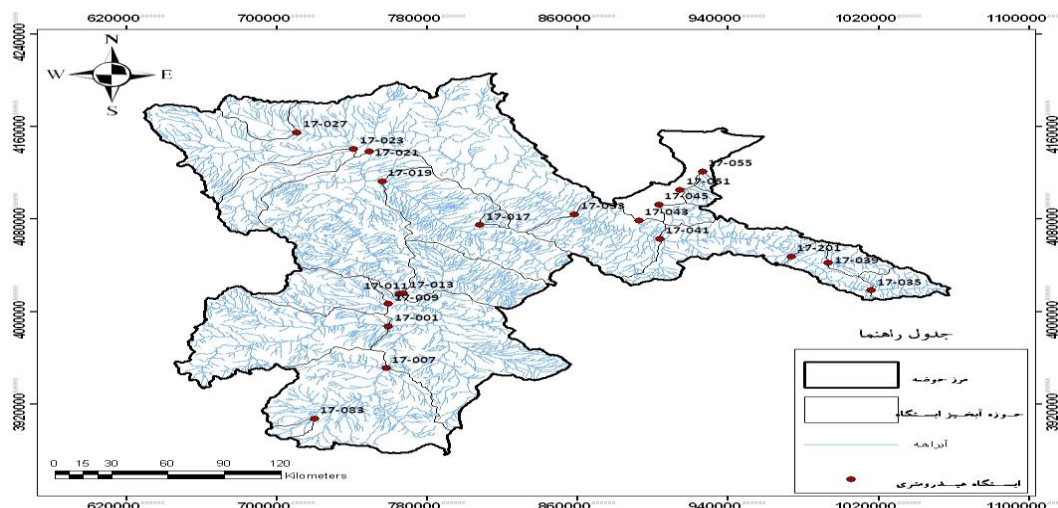
## ۲. روش‌شناسی

### ۱.۲. معرفی منطقه مورد مطالعه

منطقه مورد مطالعه حوزه آبخیز سفید رود با مساحتی معادل ۵۶۷۰۰ کیلومتر مربع در شمال غرب کشور و در زمرة مناطق خشک و نیمه‌خشک ایران است. این حوضه در محدوده سیاسی استان‌های همدان، کردستان، زنجان، آذربایجان شرقی، قزوین و گیلان قرار دارد. متوسط بارندگی سالانه حوزه آبخیز سد سفیدرود از ۲۰۰ میلی متر در اطراف مخزن سد تا حدود ۶۰۰ میلی‌متر در



شکل ۱. موقعیت منطقه مورد مطالعه در ایران



شکل ۲. حوزه آبخیز سفیدرود و ایستگاه‌های هیدرومتری منتخب

### ۳،۳،۲،۲. روش حد وسط دسته‌ها

در این روش دبی‌های جریان با یک طول دسته معین به تعدادی دسته تقسیم شده و برای دبی متوسط هر دسته، دبی رسوب متوسط اندازه‌گیری شده همان دسته تعیین و در نهایت منحنی سنجه رسوب به روش حداقل مربعات به دست می‌آید.

### ۴،۲،۲. اعمال ضرایب اصلاحی

پس از برآش منحنی‌های سنجه رسوب، انواع تصحیحات با استفاده از ۳ فاکتور اصلاحی (معادله‌های FAO، QMLE، Smearing) برای هر یک از ایستگاه‌ها اعمال گردید.

### ۱،۴،۲،۲. ضریب اصلاحی FAO

روش فائق، برای تعدیل ارقام و نزدیک کردن مقادیر محاسباتی به مقادیر مشاهده‌ای برای مناطق خشک و نیمه‌خشک مطرح شده است [۲۱]. در این روش ضریب a به عنوان فاکتور اصلاحی، به صورت زیر جایگزین ضریب a در رابطه USBR شده است [۳]:

$$\bar{Q}_s = \alpha \bar{Q} w^b \quad (2)$$

فاکتور اصلاحی a از رابطه زیر به دست می‌آید.

$$\alpha = \frac{\bar{Q}_s}{\bar{Q} w^b} \quad (3)$$

که در آن،  $\bar{Q}_s$ : میانگین دبی رسوب نمونه‌های مشاهده‌ای (تن در روز) و  $\bar{Q} w^b$ : میانگین دبی جریان نمونه‌های مشاهده‌ای (مترمکعب بر ثانیه) است.

### ۲،۴،۲،۲. ضریب اصلاحی QMLE

روش تخمین‌گر شبیه بیشینه درست نمایی [۱۴] برای اصلاح اثر تبدیل لگاریتمی با فرض توزیع نرمال خطاهای باقیمانده به کار گرفته شده است و بیشتر در مورد اریب منفی ذاتی منحنی سنجه به کار برده می‌شود. این روش که به نام روش پارامتری (CF1) نیز گزارش شده؛ از یک ضریب تصحیح

### ۲،۲،۲. روش تحقیق

مراحل انجام تحقیق به صورت گام به گام به شرح زیر است:

### ۱،۲،۲. گزینش ایستگاه‌های مورد بررسی

پس از جمع‌آوری آمار و اطلاعات مربوط به دبی جریان و رسوب معلق ایستگاه‌های هیدرومتری حوزه آبخیز سفیدرود، انتخاب ایستگاه‌ها با توجه به موقعیت پراکنش آن‌ها در سطح حوضه، عدم وجود سد مخزنی در بالادست آن [۴] و کامل بودن آمار همزمان دبی و رسوب در دوره آماری از بدو تأسیس تا سال ۱۳۸۸ انجام شد. در نهایت ۲۰ ایستگاه از مجموع ایستگاه‌های هیدرومتری منطقه جهت مطالعه، انتخاب گردید.

### ۲،۲،۲. بررسی آمار دبی جریان و رسوب معلق

در این مرحله آمار دبی جریان و رسوب معلق لحظه‌ای از نظر کیفیت و صحت مورد بررسی قرار گرفتند و با کنترل آمار سعی گردید حتی الامکان داده‌های اشتباه حذف گردد.

### ۳،۲،۲. برآش منحنی سنجه رسوب به روش‌های

#### مختلف

انواع روش‌های منحنی سنجه که در این تحقیق مورد ارزیابی قرار گرفت به شرح ذیل هستند:

#### ۱،۳،۲،۲. روش یک خطی

در این روش معمولاً داده‌های متناظر دبی رسوب و دبی جریان به یک محور مختصات تمام لگاریتمی منتقل و بهترین خط برآش با استفاده از روش حداقل مربعات از میان ابر نقاط عبور داده می‌شود.

#### ۲،۳،۲،۲. روش دوخطی

در این حالت با توجه به وضعیت پراکنش نقاط، مجموعه نقاط به دو دسته تقسیم و به هر یک خط مستقیم جداگانه ای برآش داده می‌شود. بنابراین در این حالت دو معادله برای منحنی سنجه رسوب وجود دارد.

معیار دیگر ضریب ناش - ساتکلیف NSE یا خطای حداکثر است که از منفی بی نهایت تا ۱ متغیر است. در صورتی که مقدار آن برابر با صفر یا کمتر از آن شود بیانگر این است که میانگین مشاهده‌ای بهتر از مقدار برآورده توسط مدل است و اگر مقدار آن برابر با ۱ شود تطابق کامل بین دبی‌های مشاهده‌ای و برآورده برقرار است [۳۴].

$$RMSE = \left[ \frac{\sum_{i=1}^n (Q_i^o - Q_i^e)^2}{N} \right]^{0.5} \quad (8)$$

$$NSE = 1 - \left[ \frac{\sum_{i=1}^n (Q_i^o - Q_i^e)^2}{\sum_{i=1}^n (Q_i^o - Q^{mean})^2} \right] \quad (9)$$

غالباً در پژوهش‌های علمی از این معیارها جهت بررسی کارایی مدل منحنی سنجه استفاده می‌نمایند [۹، ۳۱، ۳۳].

## ۶.۲.۲. به دست آوردن میانگین حجم رسوبات معلق سالانه

پس از تعیین مدل بهینه، اقدام به تعیین مقدار رسوب معلق سالانه با استفاده از داده‌های دبی روزانه شد چرا که این روش نسبت به روش‌های دیگر دقیق‌تر است [۲۸، ۳۳، ۴۹]. در نهایت مقدار میانگین رسوب معلق سالانه در طول دوره آماری ۳۵ ساله ۱۳۵۳ تا ۱۳۸۸ به تفکیک در هر ایستگاه به دست آمد.

بر اساس مجدور خطای استاندارد باقیمانده رگرسیون استفاده می‌کند و معادله آن به شکل زیر است [۱۷]:

$$CF_1 = EXP[2.65S^2]$$

که در آن  $e$  تابع نمایی برابر ۲,۷۱۸ و  $S^2$  خطای استاندارد (مجدور میانگین) معادله رگرسیون در لگاریتم با مبنای ۱۰ است که از رابطه زیر به دست می‌آید.

$$S^2 = \frac{\sum (\log Q_o - \log Q_e)^2}{n - 2} \quad (5)$$

در این رابطه  $Q_o$  دبی رسوب مشاهده‌ای (تن در روز) و  $Q_e$  دبی رسوب برآورده (تن در روز) و  $n$  تعداد نمونه‌های مشاهده‌ای است.

۳.۴.۲.۲. ضریب اصلاحی غیرپارامتری روش اصلاح‌گر [۱۱]، در مورد برازش جذر مربع و یا جذر مکعب داده‌ها استفاده می‌شود. این روش با رد توزیع نرمال خطاهای باقیمانده، برای حذف اریبی داده‌ها ارائه شده و شکل کلی معادله آن به صورت زیر است [۴۱].

$$CF_2 = \frac{1}{n} \sum 10^{\varepsilon i} \quad (6)$$

$$\varepsilon i = \log Q_o - \log Q_e \quad (7)$$

که در آن،  $\varepsilon i$  باقی‌مانده حداقل مربعات مدل رگرسیونی،  $Q_o$  دبی رسوب مشاهده‌ای (تن در روز) و  $Q_e$  دبی رسوب برآورده (تن در روز) و  $n$  تعداد نمونه‌های مشاهده‌ای است.

## ۵.۲.۲. ارزیابی مدل و انتخاب مدل بهینه

جهت ارزیابی مدل از دو معیار جذر میانگین مربعات خطای RMSE و ضریب ناش - ساتکلیف NSE استفاده شد. RMSE یکی از شاخصه‌های آماری متداول و مهم بررسی خطای است [۴۲، ۳۸].

جدول شماره ۱، معادلات رگرسیونی برازش شده منحنی سنجه رسوب با روش‌های مختلف شامل روش یکخطی، روش دوخطی و روش حدوسط دسته‌ها را به همراه ضریب تبیین ( $R^2$ ) هر معادله در ایستگاه‌های

هیدرومتری مورد مطالعه نشان می‌دهد.

جدول ۱. معادلات رگرسیونی برآش شده و ضریب تبیین آن‌ها در ایستگاه‌های هیدرومتری مورد مطالعه

R <sup>2</sup>	منحنی سنجه حد وسط	R <sup>2</sup>	منحنی سنجه دو خطی ۲	R <sup>2</sup>	منحنی سنجه دو خطی ۱	R <sup>2</sup>	منحنی سنجه یک خطی	کد ایستگاه هیدرومتری
۰/۹۱۸	Y=4.881X <sup>1.707</sup>	۰/۶۱۶	Y=0.277X <sup>2.254</sup>	۰/۷۰۰	Y=10.87X <sup>1.173</sup>	۰/۸۰۵	Y=9.0184X <sup>1.3558</sup>	(۱۷-۰۰۱)
۰/۸۸۳	Y=10.60X <sup>1.711</sup>	۰/۶۷	Y=5.916X <sup>1.709</sup>	۰/۷۴۷	Y=12.63X <sup>1.178</sup>	۰/۸۱۹	Y=12.60X <sup>1.377</sup>	(۱۷-۰۰۷)
۰/۸۸۵	Y=21.03X <sup>1.776</sup>	۰/۷۳	Y=4.538X <sup>2.254</sup>	۰/۷۸۵	Y=13.70X <sup>1.161</sup>	۰/۷۸۱	Y=14.95X <sup>1.443</sup>	(۱۷-۰۰۹)
۰/۸۵	Y=52.71X <sup>1.433</sup>	۰/۶۶۱	Y=7.725X <sup>1.629</sup>	۰/۷۷۹	Y=12.40X <sup>0.964</sup>	۰/۷۵۶	Y=13.26X <sup>1.468</sup>	(۱۷-۰۱۱)
۰/۷۱۴	Y=79.84X <sup>1.666</sup>	۰/۶۴۴	Y=3.495X <sup>2.511</sup>	۰/۴۴۵	Y=46.11X <sup>1.674</sup>	۰/۵۸۷	Y=16.34X <sup>1.705</sup>	(۱۷-۰۱۳)
۰/۹۰۰	Y=28.94X <sup>1.240</sup>	۰/۴۰۷	Y=12.14X <sup>1.463</sup>	۰/۴۹۳	Y=10.67X <sup>0.968</sup>	۰/۶۷۵	Y=15.69X <sup>1.220</sup>	(۱۷-۰۱۷)
۰/۸۱۱	Y=37.12X <sup>1.653</sup>	۰/۷۴۷	Y=7.911X <sup>2.096</sup>	۰/۷۲۹	Y=17.07X <sup>1.277</sup>	۰/۷۹۱	Y=14.41X <sup>1.835</sup>	(۱۷-۰۱۹)
۰/۷۸۸	Y=27.38X <sup>1.6234</sup>	۰/۶۰۷	Y=4.340X <sup>1.856</sup>	۰/۶۳۲	Y=17.98X <sup>1.303</sup>	۰/۷۶۴	Y=11.01X <sup>1.624</sup>	(۱۷-۰۲۱)
۰/۹۳۱	Y=40.638X <sup>1.8574</sup>	۰/۷۶۹	Y=6.855X <sup>2.274</sup>	۰/۶۸۲	Y=21.17X <sup>1.329</sup>	۰/۸۲	Y=19.62X <sup>1.773</sup>	۱۷-۰۲۳
۰/۹۶۲	Y=22.38X <sup>1.726</sup>	۰/۸۳۰	Y=10.37X <sup>1.911</sup>	۰/۶۱۶	Y=16.66X <sup>1.317</sup>	۰/۸۵۵	Y=18.73X <sup>1.603</sup>	(۱۷-۰۲۷)
۰/۹۶۷	Y=15.07X <sup>1.676</sup>	۰/۷۹۱	Y=1.477X <sup>2.035</sup>	۰/۶۹۳	Y=12.35X <sup>1.555</sup>	۰/۸۸۹	Y=7.234X <sup>1.729</sup>	(۱۷-۰۳۳)
۰/۹۳۶	Y=14.02X <sup>1.717</sup>	۰/۳۶۳	Y=8.869X <sup>1.667</sup>	۰/۵۷۵	Y=1.783X <sup>2.328</sup>	۰/۷۹۳	Y=2.821X <sup>2.005</sup>	(۱۷-۰۳۵)
۰/۹۰۱	Y=16.83X <sup>1.832</sup>	۰/۴۰۱	Y=2.556X <sup>2.230</sup>	۰/۴۸۱	Y=8.260X <sup>2.030</sup>	۰/۶۵۶	Y=11.46X <sup>1.752</sup>	(۱۷-۰۳۹)
۰/۹۶۴	Y=8.581X <sup>1.975</sup>	۰/۷۳۳	Y=0.989X <sup>2.366</sup>	۰/۳۸	Y=7.781X <sup>1.525</sup>	۰/۸۴۸	Y=1.655X <sup>2.226</sup>	(۱۷-۰۴۱)
۰/۹۵۵	Y=2.527X <sup>1.872</sup>	۰/۶۵۹	Y=0.621X <sup>2.084</sup>	۰/۷۷۷	Y=3.322X <sup>1.354</sup>	۰/۹۰۹	Y=4.136X <sup>1.553</sup>	(۱۷-۰۸۳)
۰/۹۶۱	Y=8.839X <sup>1.809</sup>	۰/۶۷۶	Y=1.951X <sup>2.093</sup>	۰/۵۶۳	Y=3.173X <sup>2.154</sup>	۰/۸۲۳	Y=4.858X <sup>1.870</sup>	(۱۷-۰۲۱)
۰/۸۵۱	Y=4.067X <sup>1.878</sup>	۰/۴۹۷	Y=3.979X <sup>1.709</sup>	۰/۶۳۶	Y=5.153X <sup>1.130</sup>	۰/۷۹۷	Y=5.554X <sup>1.442</sup>	(۱۷-۰۴۵)
۰/۷۶۲	Y=1.241X <sup>1.722</sup>	۰/۴۶۹	Y=0.399X <sup>1.898</sup>	۰/۵۶۱	Y=1.677X <sup>1.211</sup>	۰/۷۲۹	Y=1.486X <sup>1.400</sup>	(۱۷-۰۵۱)
۰/۹۱۸	Y=1.046X <sup>1.830</sup>	۰/۶۴۷	Y=0.152X <sup>2.290</sup>	۰/۵۸۵	Y=2.540X <sup>1.017</sup>	۰/۷۳۶	Y=2.694X <sup>1.187</sup>	(۱۷-۰۵۵)
۰/۶۱۷	Y=320.6X <sup>1.012</sup>	۰/۱۲۰	Y=2.811X <sup>1.553</sup>	۰/۲۳۱	Y=10.11X <sup>1.218</sup>	۰/۳۳۲	Y=5.406X <sup>1.418</sup>	(۱۷-۰۴۳)

رسوب در هر ایستگاه، اقدام به برآورد رسوب معلق سالانه تولیدی حوزه آبخیز هر ایستگاه هیدرومتری با استفاده از روش دبی روزانه شد که نتایج حاصله در جدول شماره ۵ ارائه شده است. همچنین در این جدول مقادیر رسوب ویژه سالانه هر ایستگاه و نیز کلاس رسوب‌دهی آن با توجه به تقسیم‌بندی جهانی رسوب‌دهی ویژه [۱۹]، ارائه شده است.

مقادیر ضرایب اصلاحی CF1، CF2 و FAO هر یک از روش‌های برآش منحنی سنجه رسوب، روش‌های یک خطی و حد وسط، در هر یک از ایستگاه‌های هیدرومتری مورد مطالعه در جدول شماره ۲، ارائه شده است. همچنین نتایج حاصل از اعتبارسنجی مدل‌ها با استفاده از دو معیار RMSE و NASH به ترتیب در جداول شماره ۳ و ۴ ارائه شده است.

پس از انتخاب روش مناسب برآش منحنی سنجه

## جدول ۲. مقادیر ضرایب اصلاحی مورد استفاده در ایستگاه‌های هیدرومتری مورد مطالعه

STATION	یک خطی			حد وسط		
	CF1	CF2	FAO	CF1	CF2	FAO
(۱۷-۰-۱)	۱/۸۸۶	۲/۰۲۹	۶/۳۷۵	۱/۸۸۶	۲/۲۹۵	۳/۷۷۲
(۱۷-۰-۷)	۱/۷۲۴	۱/۸۹	۵/۴۷۶	۱/۷۲۴	۱/۷۹۴	۲/۹۱۱
(۱۷-۰-۹)	۲/۰۱	۲/۰۳۱	۵/۷۳۵	۲/۰۱	۱/۶۰۹	۲/۵۶۹
(۱۷-۰-۱۱)	۲/۰۸۹	۵/۹۴۸	۷/۲۵۹	۲/۰۸۹	۱/۶۶۵	۲/۰۸۶
(۱۷-۰-۱۳)	۳/۴۰۵	۷/۵۴۸	۱۴/۹۹۱	۳/۴۰۵	۱/۶۰۸	۳/۲۴
(۱۷-۰-۱۷)	۲/۱۶۲	۲/۱۸۱	۲/۱۵۴	۲/۱۶۲	۱/۱۷۹	۱/۱۴۴
(۱۷-۰-۱۹)	۲/۰۹۴	۳/۱۳۸	۶/۸۴۵	۲/۰۹۴	۱/۶۱	۴/۱۷۶
(۱۷-۰-۲۱)	۲/۴۷۸	۵/۶۸۵	۵/۷۱۱	۲/۴۷۸	۲/۲۹۵	۲/۳۰۸
(۱۷-۰-۲۳)	۱/۹۴۶	۲/۶۱۸	۶/۹۰۹	۱/۹۴۶	۱/۱۵۵	۲/۸۲۲
(۱۷-۰-۲۷)	۱/۶۸۲	۱/۶۱۹	۳/۶۸	۱/۶۸۲	۱/۲۹۲	۲/۴۲۱
(۱۷-۰-۳۳)	۱/۴۴۴	۱/۷۰۶	۲/۷۷۸	۱/۴۴۴	۱/۰۱۴	۱/۷۳۷
(۱۷-۰-۳۵)	۱/۹۴۲	۲/۱۸۸	۳/۲۵۴	۱/۹۴۲	۰/۸۹۹	۱/۵۵۳
(۱۷-۰-۳۹)	۱/۶۴۱	۱/۶۹۷	۴/۰۵۹	۱/۶۴۱	۰/۹۹۳	۲/۳۲۴
(۱۷-۰-۴۱)	۱/۶۵	۲/۱۶۸	۴/۵۵۹	۱/۶۵	۰/۸۹۵	۲/۲۷۷
(۱۷-۰-۴۱)	۱/۰۸۴	۱/۶۱۱	۳/۵۰۵	۱/۰۸۴	۱/۰۳۹	۲/۳۵
(۱۷-۰-۸۳)	۲/۰۵۶	۲/۱۳۵	۱۱/۲۳	۲/۰۵۶	۴/۴۰۱	۷/۲۴
(۱۷-۰-۴۵)	۱/۲۶۶	۱/۳۱۱	۲/۹۲۷	۱/۲۶۶	۱/۴۹	۷/۶۴۹
(۱۷-۰-۵۱)	۱/۷۶۸	۲/۲۶۳	۶/۴۵۲	۱/۷۶۸	۱/۷۶۶	۳/۲۴۶
(۱۷-۰-۵۵)	۱/۸۳۸	۴/۵۷۷	۴/۱۴۷	۱/۸۳۸	۲۲/۵۵۸	۳/۷۲
(۱۷-۰-۴۳)	۲۰/۷۸۲	۱۵/۷۴۶	۱۳/۹۷۵	۲۰/۷۸۳	۱/۷۴۷	۱/۹۰۷

## جدول ۳. اعتبار سنجی مدل با ضریب RMSE

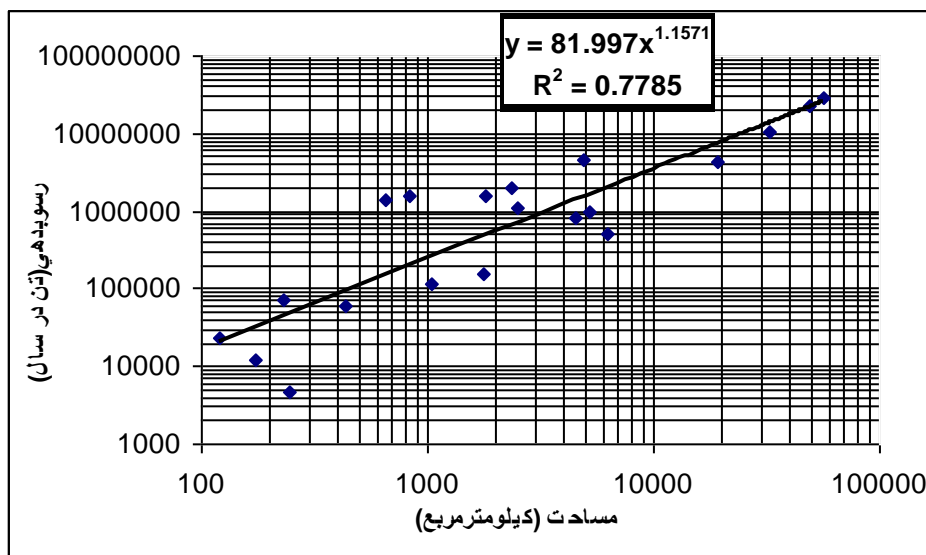
Station	یک خطی RMSE	CF1 RMSE	CF2 RMSE	FAO RMSE	دوخطی RMSE	حد وسط RMSE	CF1 RMSE	CF2 RMSE	FAO RMSE
(۱۷-۰-۱)	۲۵۴۱۴/۰۸	۲۳۶۲/۶۶	۲۳۷۴۳/۵۶	۱۹۷۸۱/۰۳	۲۰-۰۸۵/۴۵	۲۱۳۶۸/۸۴	۱۸۸۴۱/۹۴	۱۸۸۶۰/۸	۲۴۶۷۲/۱۵
(۱۷-۰-۷)	۸۷۸۶/۱۶	۷۸۷۷/۷۷	۷۶۷۳/۸۰	۴۲۸۷/۱۳	۶۶۳۱/۴۰	۴۱۷۴/۸۶	۳۵۵۹/۰۴	۳۸۳۸/۰۵۶	۱۰۳۵۱/۴۷
(۱۷-۰-۹)	۱۷۰۹/۰۵۴	۱۵۲۵/۰۳۵	۱۴۶۶/۰۲	۱۷۴۶/۰۴۴	۱۶۹۴/۰۸	۱۵۵۳/۰۴۰	۲۶۱۱۱/۷۱	۲۰۸۹/۰۴۶	۳۴۳۳/۰۷۳
(۱۷-۰-۱۱)	۹۰۰۷۵۵/۰۸	۷۲۹۹۹/۰۵۴	۷۴۱۱۲/۱۷	۸۸۷۸۰/۰۱۵	۸۳۰۰۲/۰۹۸	۶۷۹۲۵/۰۷	۱۰۸۴۶۲	۷۰۷۸۲۲/۰۲۵	۸۴۸۱۸/۰۳
(۱۷-۰-۱۳)	۲۹۳۷۱/۰۴۲	۲۶۰۴۳/۰۴۳	۲۵۴۶۴/۰۵۱	۳۸۱۱۲/۰۷	۲۸۷۷۴/۰۹۵	۲۵۴۵۰/۷	۲۶۳۹۷۱/۰۸	۲۴۸۱۹/۰۴۵	۳۴۸۰۶/۰۹۷
(۱۷-۰-۱۷)	۱۸۳۴۹	۱۶۸۰۷	۱۶۹۰/۰۳	۱۶۸۰۵۴	۱۷۵۰/۴۴	۱۶۵۰/۹۲	۲۷۸۰۸۵	۱۷۰۹۸	۱۶۹۰/۰۵۱
(۱۷-۰-۱۹)	۲۷۲۵۱/۰۳۷	۲۵۷۰۹/۰۱۶	۲۷۶۷۹/۰۸۲	۵۷۲۳۷/۰۹۵	۲۵۶۷۱/۲۹	۲۶۳۳۱/۰۶۵	۲۶۸۸۰/۰۹۳	۲۴۶۶۲/۰۳۷	۳۹۴۵۲/۰۳۸
(۱۷-۰-۲۱)	۱۴۵۶۷۲۷/۰۸	۱۳۰۴۳۴/۰۵	۲۱۶۰۱/۰۵	۲۱۷۰۷۰/۱	۱۳۶۵۹۶/۰۲	۱۳۰۳۸۲/۰۸	۲۳۳۹۰/۰۵	۲۱۵۱۹۸/۰۸	۲۱۶۵۲۲/۰۷
(۱۷-۰-۲۳)	۱۶۶۶۷/۰۵	۱۴۱۰/۰۱۶	۱۲۷۸۰/۰۵۸	۱۶۶۴۲/۰۴۵	۱۲۴۶۹/۰۷۷	۱۲۲۳۲/۰۵۳	۱۲۹۳۸۰/۰۴۷	۱۱۶۶۷/۰۴	۱۹۹۴۳/۰۷۸
(۱۷-۰-۲۷)	۴۵۶۹/۱۸	۲۵۶۹/۱۷	۲۷۲۹/۹۶	۵۳۸۷/۰۷۰	۱۲۸۲/۶۸	۱۵۶۷/۰۵۲	۴۷۴۶/۰۵۱	۲۲۴۱/۰۱۴	۱۰۰۶۸/۰۴۶
(۱۷-۰-۳۳)	۲۱۷۹۱/۰۱	۲۱۷۰۹۵/۰۳	۲۳۲۲۳۵/۰۱	۳۶۹۵۱۲/۰۲	۲۷۴۲۹۶	۲۱۲۶۴/۰۹	۲۶۵۲۶۸/۰۹	۲۱۳۴۰/۰۱	۳۲۲۲۷۴/۰۹
(۱۷-۰-۳۵)	۹۰۰۶/۰۱	۸۴۸۷/۰۴۸	۸۷۶۱/۰۳	۱۱۵۰۹/۰۸	۹۷۲۵/۰۰۳	۸۶۳۱/۰۶۱	۱۰۳۳۴/۰۸۱	۸۷۴۹/۰۱۶	۹۰۶۶/۰۸۷
(۱۷-۰-۳۹)	۸۴۴۳/۰۱۸	۷۱۱۲/۰۶۸	۷۰۰۴/۰۴۵	۴۸۸۰۵/۰۶۱	۸۹۰۳/۶۷۴	۶۲۹۱/۰۷	۴۶۶۹/۰۶۴	۶۳۱۸/۰۳۶	۵۳۹۶/۰۴۸
(۱۷-۰-۴۱)	۱۲۱۵۵۷/۰۴	۱۲۲۳۳۱/۰۳	۱۵۳۴۷۶/۰۲	۳-۹۹۸۹/۰۷	۱۲۶۰۶۴/۰۹	۱۲۰۲۵۰/۹	۱۴۴۴۳۴/۰۲	۱۱۹۲۵۲/۰۲	۱۸۷۱۸۵/۰۷
(۱۷-۰-۴۱)	۱۴۴۲۱/۰۸۱	۱۱۲۱۳۹۶	۱۱۱۷۵/۰۹۶	۲۶۷۲۷/۰۲۲	۱۲۵۴۱/۰۴۴	۱۲۱۵۴۶/۰	۱۲۵۷/۰۱۴	۱۱۹۰/۰۶۳	۲۲۳۲۷/۰۶۸
(۱۷-۰-۸۳)	۲۴۸۱۱/۰۲۷	۲۲۶۰۶/۰۹	۲۲۴۵۷/۰۵۷	۲۷۸۲۴/۰۲۵	۲۱۲۵۸/۰۵۶	۲-۱۴۳/۰۲	۱۸۹۸۳/۰۲	۳۷۲۸۸/۰۹۱	۶۸۷۷۲۹/۰۱۸
(۱۷-۰-۴۵)	۲۹۴۸۹	۲۸۴۰۵۰	۲۸۲۷/۰۷۸	۲۳۴۷۵۰۵۷	۲۷۲۷/۰۴۴	۲۳۳/۶۶	۲۱۲۷/۰۵	۱۹۸۰/۷۷	۲۰۲/۰۳۲
(۱۷-۰-۵۱)	۱۸۶۰/۰۴۱	۱۸۳۳/۰۱۸	۱۸۱۷/۰۶۳	۱۷۵۴/۰۳۹	۱۸۱۸/۱۹	۱۷۹۰/۰۸۲	۱۷۵۷/۰۶۴	۱۷۵۷/۰۶۶	۱۹۰۳/۰۳۲
(۱۷-۰-۵۵)	۳۸۲۰/۰۴۴	۳۵۳/۰۷۸	۲۹۵/۱۱	۲۹۹/۰۸۶	۲۶۵/۰۳۱	۲۶۵/۰۲۶	۲۹۵/۰۰۲	۵۵۹۸/۰۳۴	۶۹۱/۰۲۸
(۱۷-۰-۴۳)	۵۰۳۱۷۲۷/۰۷	۵۲۸۰۸۸/۰۶	۴۹۴۰۹۴/۰۴۷	۴۸۶۳۰۴/۰۷	۵۰۱۷۲۱/۰۸	۴۸۶۱۴۱/۰۹	۱۷۱۷۲۲۵	۴۷۸۴۴۰/۰۱	۴۷۷۷۴۵/۰۸

#### جدول ۴. اعتبار سنجی مدل با ضریب NASH

Station	یک خطی NSE	CF1 NSE	CF2 NSE	FAO NSE	دوخطی NSE	حد وسط NSE	CF1 NSE	CF2 NSE	FAO NSE
(۱۷-۰۰۱)	-۰/۱۰۲	-۰/۲۰۲	-۰/۲۱۶	-۰/۴۵۶	-۰/۴۱۱	-۰/۳۶۵	-۰/۵۰۷	-۰/۵۰۶	-۰/۱۵۴
(۱۷-۰۰۷)	-۰/۲۱۶	-۰/۳۷۰	-۰/۴۰۲	-۰/۸۱۳	-۰/۵۵۳	-۰/۸۲۳	-۰/۸۷۱	-۰/۸۵۰	-۰/۰۸۹
(۱۷-۰۰۹)	-۰/۱۵۱	-۰/۳۲۴	-۰/۳۷۵	-۰/۱۱۴	-۰/۱۶۵	-۰/۲۹۹	-۰/۹۸۲	-۰/۲۶۹	-۲/۴۲۶
(۱۷-۰۱۱)	-۰/۲۰۴	-۰/۴۸۵	-۰/۴۶۹	-۰/۲۳۸	-۰/۳۳۳	-۰/۵۵۴	-۰/۱۳۷	-۰/۵۱۶	-۰/۳۰۵
(۱۷-۰۱۳)	-۰/۰۸۰	-۰/۲۷۷	-۰/۳۰۹	-۰/۰۵۴۸	-۰/۱۴۲	-۰/۳۱۵	-۰/۴۱۲	-۰/۳۴۲	-۰/۲۹۱
(۱۷-۰۱۷)	-۰/۲۲۶	-۰/۳۴۶	-۰/۳۴۳	-۰/۳۴۷	-۰/۲۹۳	-۰/۳۶۷	-۰/۷۸۴	-۰/۲۲۸	-۰/۳۴۰
(۱۷-۰۱۹)	-۰/۲۵۹	-۰/۳۴۰	-۰/۲۳۵	-۰/۲۸۱	-۰/۳۴۲	-۰/۳۰۸	-۰/۲۷۹	-۰/۳۹۳	-۰/۰۵۴
(۱۷-۰۲۱)	-۰/۲۴۴	-۰/۳۸۵	-۰/۶۸۶	-۰/۷۰۳	-۰/۳۲۶	-۰/۳۸۶	-۰/۹۷۷	-۰/۶۷۴	-۰/۶۹۴
(۱۷-۰۲۳)	-۰/۲۵۰	-۰/۴۵۹	-۰/۵۵۹	-۰/۲۵۲	-۰/۵۸۰	-۰/۵۹۶	-۰/۵۴۸	-۰/۶۳۳	-۰/۰۷۴
(۱۷-۰۲۷)	-۰/۶۵۱	-۰/۸۹۰	-۰/۸۷۵	-۰/۵۱۴	-۰/۹۷۲	-۰/۹۵۹	-۰/۶۲۳	-۰/۹۱۶	-۰/۶۹۷
(۱۷-۰۳۳)	-۰/۴۷۵	-۰/۴۷۹	-۰/۴۰۴	-۰/۰۵۰۹	-۰/۱۶۹	-۰/۵۰۰	-۰/۲۲۲	-۰/۴۹۷	-۰/۱۵۱
(۱۷-۰۳۵)	-۰/۳۵۷	-۰/۴۳۵	-۰/۳۹۸	-۰/۰۳۸	-۰/۲۵۹	-۰/۴۱۶	-۰/۱۶۳	-۰/۴۰۰	-۰/۳۵۶
(۱۷-۰۳۹)	-۰/۳۵۶	-۰/۵۴۳	-۰/۵۵۷	-۰/۷۸۴	-۰/۲۸۳	-۰/۶۴۲	-۰/۸۰۳	-۰/۶۳۹	-۰/۲۳۷
(۱۷-۰۴۱)	-۰/۲۵۸	-۰/۱۲۱	-۰/۱۸۳	-۰/۳۸۲۶	-۰/۱۹۵	-۰/۲۷۴	-۰/۰۴۸	-۰/۲۸۶	-۰/۷۶۰
(۱۷-۰۴۱)	-۰/۶۴۲	-۰/۷۸۴	-۰/۷۸۵	-۰/۲۲۸	-۰/۷۳۰	-۰/۷۴۶	-۰/۷۲۸	-۰/۷۵۶	-۰/۱۴۳
(۱۷-۰۸۳)	-۰/۱۴۶	-۰/۲۹۱	-۰/۳۰۱	-۰/۰۷۴	-۰/۳۷۳	-۰/۴۳۷	-۰/۰۰۰	-۰/۹۲۸	-۰/۵۵۰
(۱۷-۰۴۵)	-۰/۲۱۲	-۰/۲۶۶	-۰/۲۷۵	-۰/۵۰۰	-۰/۳۲۷	-۰/۵۰۵	-۰/۵۹۰	-۰/۶۴۲	-۰/۶۲۹
(۱۷-۰۵۱)	-۰/۰۳۲	-۰/۰۶۰	-۰/۰۷۶	-۰/۱۳۹	-۰/۰۷۵	-۰/۱۰۳	-۰/۱۳۶	-۰/۱۳۶	-۰/۰۱۳
(۱۷-۰۵۵)	-۰/۱۴۶	-۰/۲۶۹	-۰/۴۹۲	-۰/۴۷۵	-۰/۵۸۹	-۰/۵۸۹	-۰/۴۹۲	-۱۸۱/۹۴۷	-۱/۷۸۹
(۱۷-۰۴۳)	-۰/۰۲۵	-۰/۱۲۹	-۰/۰۱۲	-۰/۰۴۳	-۰/۰۱۹	-۰/۰۴۳	-۱۰/۹۳۵	-۰/۰۷۴	-۰/۰۷۵

#### جدول ۵. مقادیر رسوب سالانه، رسوب ویژه سالانه تولیدی زیرحوضه‌ها و کلاس رسوبدهی

کد ایستگاه	نام ایستگاه	رسوب سالانه (تن)	رسوب ویژه سالانه (تن در کیلومترمربع)	کلاس رسوبدهی
(۱۷-۰۰۱)	بیانلو	۹۵۸۶۰.۸/۱۸	۱۸۲۰.۴	۴
(۱۷-۰۰۷)	سلامت آباد	۵۱۲۶۳۹/۴۱	۸۲/۱۲	۳
(۱۷-۰۰۹)	هشتادجفت	۱۵۹۱۴۷/۹۷	۸۹/۰۶	۳
(۱۷-۰۱۱)	قره گونی	۴۳۱۹۲۳۳/۳۶	۲۲۲/۷۶	۴
(۱۷-۰۱۳)	ینگی کند	۱۰۸۱۱۰۰/۸۴	۴۳۵/۰۵	۴
(۱۷-۰۱۷)	پالتی	۱۱۹۶۲/۹۲	۶۸/۸۶	۳
(۱۷-۰۱۹)	سرچم	۸۰۴۴۷۴/۷۹	۱۷۷/۲۱	۴
(۱۷-۰۲۱)	پل دختر	۱۰۵۲۴۳۰۲/۹۸	۳۲/۰۰	۴
(۱۷-۰۲۳)	موتورخانه	۱۵۳۵۲۳۴/۲۹	۸۵۲/۶۷	۵
(۱۷-۰۲۷)	کوهسالار	۱۱۷۴۷۲/۶۱	۱۱۲/۲۴	۴
(۱۷-۰۳۳)	گیلوان	۲۲۰۹۸۱۳۱/۶۳	۴۵۲/۰۸	۴
(۱۷-۰۳۵)	گلینک	۷۱۲۲۱۶/۲۲	۸۹۶/۳۹	۵
(۱۷-۰۳۹)	باگکلایه	۷۱۸۸۴۰	۱۱۰۹/۳۲	۶
(۱۷-۰۴۱)	لوشان	۴۶۶۵۷۶۷/۸۴	۹۵۵/۱۹	۵
(۱۷-۰۴۵)	توتکابن	۵۹۴۶۵/۶۳	۱۳۷/۲۰	۴
(۱۷-۰۵۱)	شهربیجار	۶۹۹۵۱/۱۸	۳۰۱/۳۸	۴
(۱۷-۰۵۵)	پاشکی	۲۳۰۵۰/۶۳	۱۹۰/۰۱	۴
(۱۷-۰۸۳)	دهگلان	۴۷۱۱/۲۷	۱۹/۳۴	۲
(۱۷-۲۰۱)	رجائی دشت	۱۹۵۴۵۱۶۳۸	۸۳۶/۶۷	۵
(۱۷-۰۴۳)	بین راه روبار	۲۹۳۱۷۱۷۷/۲۳	۵۱۹/۴۳	۵



شکل ۳. نمودار تغییرات رسوبدهی به ازاء مساحت

نسبت به هیچ کدام از ایستگاه‌های حوضه برازش مناسبی نشان نداد ولی این روش با اعمال ضرایب اصلاحی توانست در برخی از ایستگاه‌ها به عنوان روش مناسب معرفی شود. در این رابطه روش یکخطی با ضریب اصلاحی CF1 روش مناسب ایستگاه گلینک، یکخطی با ضریب اصلاحی CF2 روش مناسب ایستگاه‌های هشتاد جفت و رجائی دشت و روش یکخطی با ضریب اصلاحی FAO روش مناسب ایستگاه شهر بیجار است. نتایج تحقیقات محققین در ایستگاه هیدرومتری رودک حاکی از آن است که روش دوخطی مناسب‌ترین روش و روش یک خطی با ضریب رسمیت صحیح فائز نامنا سبترین روش برآورد بار معلق رسمیت است [۱]. نتایج این تحقیق با یافته‌های محققین در ایستگاه شهر بیجار مغایرت داشت اما در پژوهش دیگر در حوضه سد کمال صالح، روش یکخطی با اعمال ضریب اصلاحی به عنوان روش مناسب معرفی شده است [۴۱]. هر چند در این تحقیق روش حد وسط، حد وسط با ضریب اصلاحی CF2 و حد وسط با ضریب اصلاحی CF1 به دلیل برازش بیشتر با ایستگاه‌های حوضه سفیدرود، به عنوان روش مناسب معرفی گردیدند اما این روش‌ها نتوانستند به عنوان مناسب‌ترین روش در تمامی ایستگاه

#### ۴. بحث و نتیجه‌گیری

نتایج این تحقیق نشان داد که داده‌های روش حد وسط و روش حد وسط با ضرایب اصلاحی CF1 و CF2 در مقایسه با سایر روش‌های منحنی سنجه، بیشترین برازش (از نظر فراوانی) را با داده‌های ایستگاه‌های حوضه سفید رود دارا هستند. در این رابطه روش حد وسط به عنوان مناسب‌ترین روش منحنی سنجه برازش داده شده به ۵ ایستگاه (ایستگاه‌های قره گونی، پالتی، پاشاکی، پل دختر و گلوان)، روش حد وسط با ضریب اصلاحی CF2 مناسب‌ترین روش منحنی سنجه برازش داده شده به ۵ ایستگاه (ایستگاه‌های ینگی کند، سرچم، موتورخانه، لوشان و توکابن) و روش حد وسط با ضریب اصلاحی CF1 مناسب‌ترین روش منحنی سنجه برازش داده شده به ۴ ایستگاه (ایستگاه‌های بیانلو، سلامت آباد، باغ کلایه و دهگلان) تشخیص داده شدند. نتایج تحقیقات بعضی از محققان، روش حد وسط دسته‌ها [۳، ۲۸، ۴۰، ۴۹] و عده‌ای دیگر روش حد وسط با اعمال ضریب اصلاحی را به عنوان روش بھینه نشان می‌دهد [۲۲، ۳۳].

هر چند طبق یافته‌های این تحقیق روش یکخطی

متغیر مستقلی است که در معادلات رگرسیونی منحنی سنجه را سوب وارد می‌شود. پیشنهاد می‌شود علاوه بر مقادیر دبی جریان، کاربرد متغیرهای دیگر نیز در تر سیم منحنی‌های سنجه را سوب مورد آزمون قرار گیرد و یا به عبارت دیگر منحنی‌های سنجه را سوب چندمتغیره ترسیم گردد.

با توجه به عبور بخش زیادی از رسوبات در موقع سیلابی و عدم نمونه برداری‌های به موقع در آن زمان و تأثیر زیاد تعداد نمونه‌ها در برآورد صحیح را سوب عبوری از رودخانه‌ها، پیشنهاد می‌گردد تا حد ممکن در ایستگاه‌های نمونه برداری با فاصله‌های زمانی کوتاه مدت از رودخانه‌ها انجام و یا این‌که از نمونه بردارهای اتوماتیک استفاده گردد تا بتوان تغییرات دقیق دبی-رسوب را در زمان کوتاهی پایش و در نهایت مقدار صحیح را سوب عبوری از رودخانه برآورد گردد. در این راستا بر نامه نمونه‌گیری سازوار خوش‌های جهت انجام نمونه برداری رسوب معلق به وزارت نیرو پیشنهاد می‌گردد [۴].

نمودار تغییرات را سوبدهی به ازاء مساحت نشان داد که این رابطه دارای نمای کمی بیش از واحد است که نشان دهنده رابطه تقریباً مستقیم میزان را سوبدهی به ازاء واحد سطح است. به طوری که به ازاء افزایش واحد به مساحت، افزایش قابل ملاحظه در را سوبدهی را شاهد هستیم. این نتیجه حاکی از اثر بیشتر مناطق کوهپایه‌ای نسبت به ارتفاعات در تولید را سوب است [۲]. نتایج حاصل از این تحقیق در شاخه قزل اوزن نشان داد با وجود کلاس را سوبدهی ویژه ۳ و ۴ تمامی ایستگاه‌ها (به جزء ایستگاه موتورخانه که دارای کلاس را سوبدهی ۵ یا زیاد است)، به دلیل مساحت بالای حوزه سهم زیادی از تولید را سوب حوزه آبخیز سفیدرود به این زیر حوزه تعلق دارد. از این رو به منظور کاهش را سوب ورودی به مخزن سد سفیدرود پیشنهاد می‌شود گزینه مکان‌یابی مناسب انجام عملیات مناسب آبخیزداری و حفاظت آب و خاک در این زیر حوزه‌های بزرگ عملیاتی شود. همچنین بررسی‌ها حاکی از آن است که شاخه شاهرود از حوزه آبخیز سفیدرود دارای

های حوزه سفیدرود خودنمایی نمایند. با توجه به اینکه روش دوخطی روش مناسب برآمد شده در دو ایستگاه کوهسالار و پاشاکی معرفی شد (که با نتایج [۱]، مطابقت داشت) و روش تک خطی با ضرایب اصلاحی توانست به عنوان روشی مناسب در برخی ایستگاه‌ها قابل کاربرد باشد، می‌توان چنین نتیجه گرفت که شرایط محلی منطقه بالادست ایستگاه، ویژگی‌های مرغولوژیکی کانال رودخانه و نیز جامعه آماری که با توجه به آن نمونه برداری انجام شده و در نهایت منحنی سنجه را سوب بر اساس آن نمونه‌ها به دست می‌آید تأثیر زیادی در دقت منحنی‌های مذکور و انتخاب روش مناسب دارد. لازم به ذکر است که طبق نتایج این تحقیق، ضرایب اصلاحی CF1 و CF2 در اغلب ایستگاه‌ها به دلیل جبران کم تخمینی روش‌های منحنی سنجه، موجب افزایش کارایی مدل می‌شوند. هرچند که نمی‌توان این ضرایب را به عنوان یک قاعدة کلی در تمام ایستگاه‌ها پیشنهاد کرد، به عبارت دیگر، روش مناسب هر ایستگاه منحصر به فرد تعیین می‌شود. پژوهش‌های محققین مختلف [۱۰، ۳۲، ۴۶، ۲۷، ۲۴] نیز حاکی از تأیید تغییرپذیری مکانی خصوصیات منحنی سنجه را سوب و رابطه دبی با را سوب است. بنابراین اگر روش مناسب برآمد منحنی سنجه به درستی تعیین نشود، منجر به برآورد کم یا زیاد را سوب حوضه خواهد گردید. لذا پیشنهاد می‌شود در انجام پژوهش‌های اجرایی قبل از هر اقدامی راجع به تعیین منحنی سنجه بهینه اقدام، تا با استفاده از آن برآورد تقریبی مناسب از میزان تولید را سوب حوضه داشته باشیم.

به طور کلی در جهت بهبود روابط منحنی سنجه را سوب در ایستگاه‌های مختلف کشور باید تحقیقات بیشتری صورت گیرد تا ماهیت و پیچیدگی برآورد کننده‌های رگرسیونی و یا سایر مدل‌ها به خوبی روشن شود. آنچه در این بین نقش مهم و به سزاوی دارد داشتن جامعه آماری مناسب از داده‌های همزمان غلظت را سوب و دبی جریان است. دبی جریان به عنوان یک متغیر کمکی نقش زیادی در نتایج کاربرد منحنی‌های سنجه را سوب دارد و تنها

از ده درصد مساحت کل حوزه آبخیز) این زیر حوزه حدود یک پنجم رسوب کل حوضه را تولید می‌کند. لذا کنترل فرایش خاک و اخذ رسوبات به عنوان اقدامات ضروری در چارچوب طرح‌های حفاظتی توصیه می‌گردد.

رسوب‌دهی ویژه بالایی است. در این رابطه ایستگاه باغ کلایه دارای کلاس رسوب‌دهی ۶ و سایر ایستگاه‌های مورد مطالعه این شاخه دارای کلاس رسوب‌دهی ۵ (رسوب‌دهی بالا) است. یعنی با وجود مساحت کم (کمتر

## References

- [1]Ahmadi, H., Malekian, A. and Abedi, R. (2012). The most appropriate statistical method for suspended sediment estimation of rivers, Case Study: Roodak station of the Jajrood basin. Environmental Erosion Researches Journal, 5, 78-88.
- [2]Arabkhedri, M. (2005). A study on suspended sediment yield in river basins of Iran. Iran – water resources research, 1(2), 51-60.
- [3]Arabkhedri, M., Hakimkhani, S. and Varvani, J. (2004). The validity of extrapolation methods in estimation of annual mean suspended sediment yield (17 hydrometric stations). Journal of Agricultural Sciences and Natural Resources, 11 (3), 123-131.
- [4]Arabkhedri, M., Lai, F.S., Noor Akma, I. and Mohamad Roslan, M. K. (2010). An application of adaptive cluster sampling for estimating total suspended sediment load. Journal of Hydrology Research, 41(1), 63-73.
- [5]Asselman, N.E.M. (1999). Suspended sediment dynamics in a large drainage basin: the River Rhine. Hydrological Processes, 13 (10), 1437-1450.
- [6]Asselman, N.E.M. (2000). Fitting and interpretation of sediment rating curves. Journal of Hydrology, 234, 228–248.
- [7]Batalha, R.J., Gomez, C.M. and Kondolf, G.M. (2004). Reservoir-induced hydrological changes in the Ebro River basin (NE Spain). Journal of Hydrology, 290 (1-2), 117-136.
- [8]Cohn, T.A., Delong, L.L., Gilroy, E.J., Hirsch, R.M. and Wells, D.K. (1989). Estimating constituent loads. Water Resources Research, 25 (5), 937-942.
- [9]Dehghani, A.A., Zanganeh, M.E., Mosaede, A. and Kohestane, N. (2009). Comparison of suspended sediment estimation by artificial neural network and sediment rating curve methods (Case Study: Doogb River in Golestan province). Journal of Agricultural Sciences and Natural Resources, 6, 266-277.
- [10]de Vente, J., Poesen, J., Bazzoffi, P., Van Rompaey, A. and Verstraeten, G. (2006). Predicting catchment sediment yield in Mediterranean environments: the importance of sediment sources and connectivity in Italian drainage basins. Earth Surf Process Land, 31, 1017–1034.
- [11]Duan, N. (1983). Smearing estimate, a nonparametric retransformation method. Journal of American Statistical Association, 78 (383), 605-610.
- [12]Fan, X.L., Shi, C.X., Zhou, Y.Y. and Shao, W. (2012). Sediment rating curves in the Ningxia-Inner Mongolia reaches of the upper Yellow River and their implications. Quaternary International, 282, 152-162.
- [13]Farokhzadeh, B., Azarakhshi, M., Mahdavi, M. and Salajegheh, A. (2008). Regional assessment of sediment rating curves in the different climates of Iran. Journal of the Iranian Natural Res, 61 (1), 1-12
- [14]Ferguson, R.I. (1986). River loads underestimated by rating curves. Water Resources Research, 22, 74-76.
- [15]Hudson, P.F. (2003). Event sequence and sediment exhaustion in the lower Panuco Basin, Mexico. Catena, 52 (1), 57-76.
- [16]Hu, B.Q., Wang, H.J., Yang, Z.S. and Sun, X.X. (2011). Temporal and spatial variations of sediment rating curves in the Changjiang (Yangtze River) basin and their implications. Quaternary International, 230 (1-2), 34-43.

- [17]Iadanza, C. and Napolitano, F. (2006). Sediment transport time series in the Tiber River. *Physics and Chemistry of the Earth*, 31 (18), 1212-1227.
- [18]Iran Water Resources Research Center. (2001). River improving of Sefidrood. (Talfigh study).
- [19]Jansson, M.B. (1988). A global survey of sediment yield. *Geografiska Annaler*, 70 (1-2), 81-98.
- [20]Jansson, M.B. (1996). Estimating a sediment rating curve of the Reventazón river at Palomo using logged mean loads within discharge classes. *Journal of Hydrology*, 183 (3-4), 227-241.
- [21]Jones, K.R., Berney, O., Carr, D.P. and Barret, E.C. (1981). Arid zone hydrology for agricultural development. FAO Irrigation and Drainage Paper, 37, 271.
- [22]Kalvandi, S., Khodashenas, S., Ghahraman, B., Tahmasbi, R. and Bustani, A. (2010). Analysis of different methods of rating curves in estimating of dams alluvia and study on Doosti Dam. *Errigation & Water Engineering*, 1, 10-20.
- [23]Kao, Sh., Lee, T. and Milliman, J.D. (2005). Calculating highly fluctuated suspended sediment fluxes from mountainous rivers in Taiwan. *TAO*, 16 (3), 653-675.
- [24]Le, T.P.Q., Garnier, J., Gilles, B., Sylvain, T. and Van Minh, C. (2007). The changing flow regime and sediment load of the Red River, Viet Nam. *Journal of Hydrology*, 334 (1-2), 199-214.
- [25]Li, Z., Zhang, Y.K., Schilling, K. and Skopec, M. (2006). Cokriging estimation of daily suspended sediment loads. *Journal of Hydrology*, 327, 389– 398.
- [26]Meade, R.H., Yuzyk, T.R. and Day, T.J. (1990). Movement and storage of sediment in rivers of the United States and Canada. In: *Surface Water Hydrology*. Geological Society of America, 251, 165-179.
- [27]Milliman, J.D. and Meade, R.H. (1983). World-wide delivery of river sediment to the oceans. *Journal of Geology*, 91 (1), 1-21.
- [28]Mirzaei, M.R., Arabkhedri, M., Feiznia, S. and Ahmadi, H. (2005). Comparing the statistical methods of sediment suspended load of rivers. *Iranian Journal of Natural Resources*, 58 (2), 301-314.
- [29]Morgan, R.P.C. (1995). *Soil Erosion and Conservation*. 2nd ed. Longman, London press.
- [30]Mossa, J. (1988). Discharge-sediment Dynamics of the Lower Mississippi River. *Transactions Gulf Coast Association of Geological*, 38, 303-314.
- [31]Moayeri, M.M., Nikpoor, R., Hoseinzadeh Dalir, A. and Farsadizadeh, D. (2010). Comparison of artificial neural networks, adaptive neuro-fuzzy and sediment rating curve models for estimating suspended sediment load of Ajichay river. *Soil and Water Knowledge*, 20 (2), 71-83.
- [32]Nadal-Romero, E., Latron, J., Martí-Bono, C. and Regués, D. (2008). Temporal distribution of suspended sediment transport in a humid Mediterranean badland area: the Araguás catchment. *Central Pyrenees, Geomorphology*, 97, 601–616.
- [33]Najafinejad, A., Mardian, M., Varvani, J. and Sheikh, V.B. (2011). Performance evaluation of correction factors in optimization of sediment rating curve (Case Study: Kamal Saleh dam watershed, Markazi province, Iran). *Journal of Water and Soil Conservation*, 18(2), 105-122.
- [34]Nash, J. E. and Sutcliffe, J.V. (1970). River flow forecasting through conceptual models: a discussion of principles. *Journal of Hydrology*, 10 (3), 282-290.
- [35]Newcombe, C.P. and Jensen, J.O.T. (1996). Channel suspended sediment and fisheries: a synthesis for quantitative assessment of risk and impact. *North American Journal of Fisheries and Management*, 16, 693–727.
- [36]Peters-Kümmerly, B.E. (1973). Untersuchungen über Zusammensetzung und transport von Schwebstoffen in einigen Schweizer Flüseen. *Geographica Helvetica*, 28, 137–151.
- [37]Sadeghi, S.H.R., Mizuyama, T., Miyata, S., Gomi, T., Kosugi, K., Fukushima, T., Mizugaki, S. and Onda, Y. (2008). Development, evaluation and interpretation of sediment rating curves for a Japanese small mountainous reforested watershed. *Geoderma*, 144, 198-211.
- [38]Singh, J., Knapp, H.V. and Demissie, M. (2004). *Hydrologic Modeling of the Iroquois River Watershed Using HSPF and SWAT*. Illinois State Water Survey Contract Report press.

- [39] Syvitski, J.P.M. and Morehead, M.D. (1999). Estimating river-sediment discharge to the ocean: application to the Eel margin, northern California. *Marine Geology*, 154 (1-4), 13-28.
- [40] Varvani, J., Feiznia, S., Mahdavi, M. and Arabkhedri, M. (2001). Regional analysis of suspended load in Gorganrood and investigation on sediment producing condition of up stream of Veshmgir dam. Ms.c. thesis, Faculty of natural resources, Tehran university.
- [41] Varvani, J., Najafi Nejad, A. and Mirmoini Karahroudi, A. (2008). Improving of sediment rating curve using minimum variance unbiased estimator. *Journal of Agricultural Sciences and Natural Resources*, 15(1), 1-13.
- [42] Vazquez-Amáble, G. G. and Engel, B.A. (2005). Use of SWAT to compute groundwater table depth and streamflow in the Muscatatuck River watershed. *Trans, ASAE*, 48(3), 991-1003.
- [43] Walling, D.E. and Webb, B.W. (1983). Patterns of Sediment Yield. In: *Background to Paleohydrology*, John Wiley and Sons press, New York.
- [44] Walling, D.E. (1974). Suspended sediment and solute yields from a small catchment prior to urbanization. In: Gregory, K.J., Walling, D.E., *Fluvial Processes in Instrumented Watersheds*. Institute of British Geographers, 6, 169-192.
- [45] Walling, D.E. (1978). Suspended sediment and solute response characteristics of the river Exe, Devon, England. *Research in Fluvial Geomorphology*, 15, 169-197.
- [46] Walling, D.E. and Kane, P. (1982). Temporal Variation of Suspended Sediment Properties. *IAHS Publ.*, 137, 409-419.
- [47] Wilkinson, S.N., Prosser, I.P., Rustomji, P. and Read, A.M. (2009). Modelling and testing spatially distributed sediment budgets to relate erosion processes to sediment yields. *Environmental Modelling and Software*, 24, 489-501.
- [48] Zhang, W., Xiaoyan, W., Jinhai, Z., Yuliang, Z. and Zhang, Y. (2012). Estimating suspended sediment load sinthePearl River Deltaregion using sedimentratingcurves. *Continental Shelf Research Journal*, 38, 35-46.
- [49] Zorratipour, A. (2007). A comparison of hydrological (statistical) methods for estimating suspended load (case study: Taleghan watershed). Ms.c. thesis, Faculty of natural resources, Tehran university press.